Expansion STE ODILE EXPANSION

0200HO11272 GUARANTEE x SUPERSHOT x MUNITION

STE ODILE SUPERSHOT ELECTRA
DAM

A2A2

WESTCOAST GUARANTEE
STE ODILE SUPERSHOT ELECTRA VG-85-3YR-CAN 13*
COGENT SUPERSHOT
STE ODILE MUNITION ELSA GP-83-2YR-CAN 2*
SULLY MUNITION
STE ODILE SNOWMAN MOD EMERAUDE GP-84-2YR-CAN 1*

GTPI 2800

TD TR TL TY MWC TV — HH1F HH2F HH3F HH4F HH5F HH6F HCDF HMWC

Nom #: HOCANM12857929	aAa: 342156	DMS: 345
Né le: 10/04/2017	Caséine kappa: BB	Caséine bêta: A2A2

PRODUCTION — 381 Troup 1347 Filles 92% Fiab — MACE-G / 04-25

Lait lbs	Gras lbs	Gras %	Protéine lbs	Protéine %
1124	**10**	**-0.13**	**43**	**+0.02**
NM$ **397**	CM$ **415**	FM$ **359**	GM$ **410**	DWP$ **259**
Efficience de l'alimentation **111**	IAR **33**	Alimentation économisée **155**	Efficience du méthane	

SANTÉ ET REPRODUCTION — Immunité 104

Vie productive	**2.2**	Immunité des veaux	**100**
SCS	**2.76**	Taux de conception des vaches	**1.2**
Taux gest. Filles	**0.6**	Taux de conception des génisses	**-0.6**
Vivabilité	**-1.4**	Facilité de vêlage	**2.2%** 73% Fiab
Livabilité des génisses	**0.9**	Facilité vêl. Filles	**2.1%** 72% Fiab
Indice de fertilité	**0.9**	Mortinatalité	**5.0%**
		Mortinatalité des filles	**4.7%**

CONFORMATION — 168 Troup 711 Filles 88% Fiab — MACE / 04-25

PTAT	**-0.26**	Composite corps	**-1.15**
PisC	**-0.10**	Composite laitier	**-0.96**
P&MC	**-0.75**		

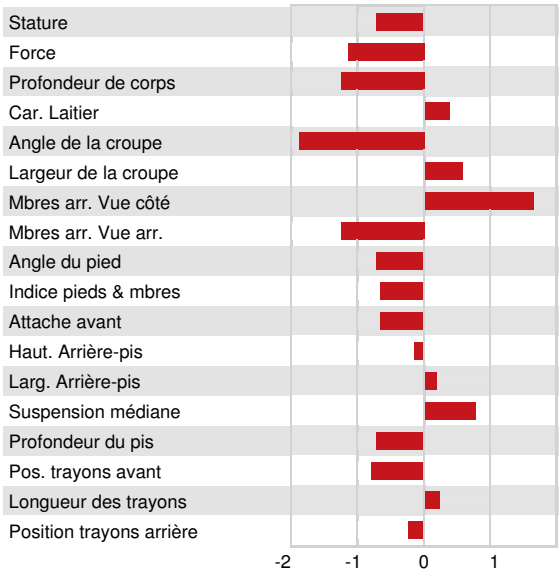

Stature		Petite	**-0.73**
Force		Faible	**-1.12**
Profondeur de corps		Peu profond	**-1.22**
Car. Laitier		Côtes ouvertes	**+0.39**
Angle de la croupe		Isch. hauts	**-1.89**
Largeur de la croupe		Large	**+0.60**
Mbres arr. Vue côté		Courbés	**+1.65**
Mbres arr. Vue arr.		Jarrets serrés	**-1.23**
Angle du pied		Peu profond	**-0.74**
Indice pieds & mbres		Indésirable	**-0.67**
Attache avant		Faible	**-0.65**
Haut. Arrière-pis		Basse	**-0.14**
Larg. Arrière-pis		Large	**+0.19**
Suspension médiane		Forte	**+0.81**
Profondeur du pis		Profond	**-0.73**
Pos. trayons avant		Éloignés Ecartés	**-0.80**
Longueur des trayons		Longs	**+0.22**
Position trayons arrière		Écartés	**-0.23**